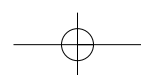
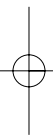
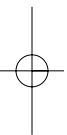


# A P É N D I C E



Número	"Geosite"	Denominación	Área	Contexto	Interés Principal	Unidad Geológica	Cronoestratigrafía del Rasgo	Paraje	Término Municipal	Provincia	Comunidad Autónoma
1	OV-01	Región del manto del Esla	< 0,1 ha	El Orogénico Varisco Ibérico	Tectónico	Mantos del Esla y Cornero, duplex de Pardaminos	Carbonífero	Cuenca alta de los Ríos Esla y Duerna (Primajás)	Boca de Huérgano, Bonár, Cistiena, Cremenes, Prioro, Reyero, Sabero, Valderrueda y Yélilla del Río Carrion	León	Castilla y León
2	OV-02	Piegues tumbados de la Sierra del Courel	< 0,1 ha	El Orogénico Varisco Ibérico	Tectónico	Manto de Mondoñedo	Carbonífero Inferior (Folgozo de Courel)	Altos de la Sierra del Courel (Folgozo de Courel)	Quiroga, Folgozo do Courel, Vilamarín (Prov.de Lugo), O Barco de Valdeorras y Rubiá (Prov.de Ourense)	Lugo y Ourense	Galicia

Número	"Geosite"	Denominación	Área	Contexto	Interés Principal	Unidad Geológica	Cronoestratigrafía del Rasgo	Paraje	Término Municipal	Provincia	Comunidad Autónoma
3	Ov-03	Zona de cizalla basal del manto de Mondonedo	< 0,1 ha	El Orogéno Varisco Ibérico	Tectónico	Zona Asturoccidental-leonesa, dominio del Manto de Mondonedo	Carbonífero inferior y Medio	Quiroga, Folgoso do Courel, Vilamartín (Prov. de Lugo), O Barco de Valdeorras y Rubia (Prov. de Ourense)	Lugo y Ourense	Galicia	Galicia
								Quiroga, Folgoso do Courel, Vilamartín (Prov. de Lugo), O Barco de Valdeorras y Rubia (Prov. de Ourense)	Lugo y Ourense	Galicia	Galicia
								Quiroga, Folgoso do Courel, Vilamartín (Prov. de Lugo), O Barco de Valdeorras y Rubia (Prov. de Ourense)	Lugo y Ourense	Galicia	Galicia
								Quiroga, Folgoso do Courel, Vilamartín (Prov. de Lugo), O Barco de Valdeorras y Rubia (Prov. de Ourense)	Lugo y Ourense	Galicia	Galicia
								Quiroga, Folgoso do Courel, Vilamartín (Prov. de Lugo), O Barco de Valdeorras y Rubia (Prov. de Ourense)	Lugo y Ourense	Galicia	Galicia
								Quiroga, Folgoso do Courel, Vilamartín (Prov. de Lugo), O Barco de Valdeorras y Rubia (Prov. de Ourense)	Lugo y Ourense	Galicia	Galicia
								Quiroga, Folgoso do Courel, Vilamartín (Prov. de Lugo), O Barco de Valdeorras y Rubia (Prov. de Ourense)	Lugo y Ourense	Galicia	Galicia
								Costa de la Provincia de Lugo entre Foz y Burela (Playa de Aree Longa)	Foz y Burela	Lugo	Galicia
								Costa de la Provincia de Lugo entre Foz y Burela (Nois)	Foz y Burela	Lugo	Galicia
								Costa de la Provincia de Lugo entre Foz y Burela (Cangas)	Foz y Burela	Lugo	Galicia
								Costa de la Provincia de Lugo entre Foz y Burela (Playa de Areoura)	Foz y Burela	Lugo	Galicia

Número	"Geosítos"	Denominación	Área	Contexto	Interés Principal	Unidad Geológica	Cronoestratigrafía del Rasgo	Paraje	Término Municipal	Provincia	Comunidad Autónoma
4	OV-04	Complejo de Cabo Ortegal	< 0,1 ha	El Orogénico Varisco Ibérico	Tectónico	Complejo de Cabo Ortegal	Ordovícico-Silúrico	Acantilados y macizo montañoso Cedeira y Ortigueira (Cedeira)	Foz y Burela	Lugo	Galicia
5	PZ-01	Cámbrico de Murero	11-1.000 ha	Series estratigráficas del Paleozoico Inferior y Medio del Macizo Ibérico	Paleontológico	Basamento paleozoico de la Cordillera Ibérica. Rama Aragonesa	Cárbonico Inferior y Medio	Ramblas de Valdemiedes y Valedenegró	Murero	Zaragoza	Aragón
6	PZ-02	Paleozoico del valle del Río Luna	>1.000 ha	Series estratigráficas del Paleozoico Inferior y Medio del Macizo Ibérico	Estratigráfico	Zona Cantábrica. Manto de Correcillas	Cárbonico a Carbonífero	Valle del Luna entre La Magdalena y Mirantes de Luna	Los Barrios de Luna, La Magdalena y Mirantes de Luna	León	Castilla y León

Número	"Geosite"	Denominación	Área	Contexto	Interés Principal	Unidad Geológica	Cronoestratigrafía del Rasgo	Paraje	Término Municipal	Provincia	Comunidad Autónoma	
7	PZ-03	Arrecife y plataforma del Devónico de Arnao	0,1 - 10 ha	Series estratigráficas del Paleozoico Inferior y Medio del Macizo Ibérico	Paleontológico	Zona Cantábrica	Devónico Inferior	Afloramientos costeros entre la punta del Requeixu (mirador de La Peñona) y la Isla Ladrona (Santa María del Mar)	Castrillón	Oviedo	Principado de Asturias	
8	PZ-04	Cámbrico y Ordovícico del Parque Nacional de Cabañeros	>1.000 ha	Series estratigráficas del Paleozoico Inferior y Medio del Macizo Ibérico	Estratigráfico	Zona Centro Ibérica. Macizo Ibérico	Cámbrico-Ordovícico	Cabañeros		Castilla - La Mancha		
9	PZ-05	Depósitos glaciomarinos y yacimiento paleontológico de Checa	11-1.000 ha	Series estratigráficas del Paleozoico Inferior y Medio del Macizo Ibérico	Paleontológico	Basamento paleozoico de la Cordillera Ibérica. Rama Castellana	Ordovícico Superior - Silúrico Inferior	Este de Checa y en la carretera entre dicha localidad y Orea	Checa	Guadalajara	Castilla - La Mancha	
10	PZ-06	Paleozoico del sinclinal del Valle	11-1.000 ha	Series estratigráficas del Paleozoico Inferior y Medio del Macizo Ibérico	Paleontológico	Zona de Ossa Morena	Cámbrico-Devónico	Solanas del Valle	Cazalla de la Sierra	Sevilla	Andalucía	
11	PZ-07	Silúrico de Salas de la Ribera	0,1-10 ha	Series estratigráficas del Paleozoico Inferior y Medio del Macizo Ibérico	Paleontológico	Fm Llagarinos, Zona Centro Ibérica	Silúrico Medio-Superior	Salas de la Ribera	Puente de Domingo Flórez	León	Castilla y León	
12	CC-01	Sucesiones del stefaniense / Kasimoviense Picos de Europa	> 1.000 ha	El Carbonífero de la Zona Cantábrica	Estratigráfico	Unidad de Picos de Europa (Zona Cantábrica)	Westfaliense D-Barriuelense (europia occidental) y Kasimoviense	Área de Gamonedo-Cabrales, región de Picos de Europa (Sección de Demués) Área de Gamonedo-Cabrales, región de Picos de Europa (Sección de Las Ileras)	Concejos de Cangas de Onís, Onís y Cabrales	Oviedo	Principado de Asturias	
13	CC-02	Bordes de plataforma carbonatada del Carbonífero	11 - 1.000 ha	El Carbonífero de la Zona Cantábrica	Estratigráfico	Unidad de Ponga, rama norte (Zona Cantábrica)	Bashkiriense-Moscoviense (Pensilvaniense, Carbonífero Superior)	Oriente de Asturias (Sierra del Cuera y Costa de Llanes) (Sierra del Cuera y costa de Llanes) (Sección de San Antolín-La Huelga)	Oriente de Asturias (Sierra del Cuera y Costa de Llanes) (Sierra del Cuera y costa de Llanes) (Sección de San Antolín-La Huelga)	Llanes, Cabrales	Oviedo	Principado de Asturias
14	CC-03	Bosque Carbonífero de Verdeña	0,1 - 10 ha	El Carbonífero de la Zona Cantábrica	Paleontológico	Formación San Salvador, Unidad de Pisueña-Carrón	Piso Cantábricense, parte inferior: Serie Estefaniense	Comarca de La Pernía, Montaña Palentina	San Cebrián de Mudá/Cervera de Pisueña	Palencia	Castilla y León	

Número	"Geosítos"	Denominación	Área	Contexto	Interés Principal	Unidad Geológica	Cronoestratigrafía del Rasgo	Paraje	Término Municipal	Provincia	Comunidad Autónoma
220											
15	CC-04	Olistostromas de la Unidad de Pisueña-Carrío	11 - 1.000 ha	El Carbonífero de la Zona Cantábrica	Tectónico	Unidad de Pisueña-Carrío (Zona Cantábrica)	Moscoviense/ Kasimoviense (Carbonífero Superior)	Montaña Palentina (Olistolito de la Fm Perapertú)	San Cebrián de Mudá/Cervera de Pisueña	Palencia	Castilla y León
16	FP-01	Minas de Riotinto	11 - 1.000 ha	La Faja Pirítica Ibérica	Metalogenético	Zona Sudportuguesa. Faja Pirítica Ibérica	Devónico Sup.- Carbonífero Inf.	Montaña Palentina (Olistolito de la Fm Brañosera)	San Cebrián de Mudá/Cervera de Pisueña	Palencia	Castilla y León
17	FP-02	Mina de Tharsis	> 1.000 ha	La Faja Pirítica Ibérica	Metalogenético	Zona Sudportuguesa. Faja Pirítica Ibérica	Devónico Sup.- Carbonífero Inf.	Mazmorra-Chimenea Gorda	Tharsis	Huelva	Andalucía
18	FP-03	Mina de Soloviejo	0,1 - 10 ha	La Faja Pirítica Ibérica	Metalogenético	Zona Sudportuguesa. Faja Pirítica Ibérica	Carbonífero Inferior	Sierra del Milano	Almonaster La Real	Huelva	Andalucía
19	FP-04	Mina de La Zarza	> 1.000 ha	La Faja Pirítica Ibérica	Metalogenético	Zona Sudportuguesa. Faja Pirítica Ibérica	Carbonífero Inferior	La Zarza-Perrunal	Nerva	Huelva	Andalucía
20	FP-05	Minas Concepción-San Platón	11 - 1.000 ha	La Faja Pirítica Ibérica	Metalogenético	Zona Sudportuguesa. Faja Pirítica Ibérica	Carbonífero Inferior	Mina Concepción - Río Odiel	Almonaster la Real	Huelva	Andalucía
21	FP-06	Mina de San Miguel	11 - 1.000 ha	La Faja Pirítica Ibérica	Metalogenético	Zona Sudportuguesa. Faja Pirítica Ibérica	Carbonífero Inferior		Almonaster La Real	Huelva	Andalucía
22	FP-07	Río Odiel	0,1 - 10 ha	La Faja Pirítica Ibérica	Petrológico	Zona Sudportuguesa. Faja Pirítica Ibérica	Carbonífero Inferior	Sierra del Sacristán - Puente de los Cinco Ojos	Almonaster la Real	Huelva	Andalucía
23	FP-08	Río Tinto	0,1 - 10 ha	La Faja Pirítica Ibérica	Geoquímico	Zona Sudportuguesa. Faja Pirítica Ibérica	Cenozoico	Zona de Zarandas y Alto de la Mesa	Nerva	Huelva	Andalucía
24	FP-09	Río Odiel	0,1 - 10 ha	La Faja Pirítica Ibérica	Geoquímico	Zona Sudportuguesa. Faja Pirítica Ibérica	Cenozoico	Tramo Concepción-Tintillo	Almonaster La Real	Huelva	Andalucía
25	FP-10	Río Agrio o Tintillo	< 0,1 ha	La Faja Pirítica Ibérica	Geoquímico	Zona Sudportuguesa. Faja Pirítica Ibérica	Cenozoico	El Campillo a Puente de los cinco ojos	Minas de Río Tinto	Huelva	Andalucía
26	MM-01	Mina de Almadén		Mineralizaciones de mercurio en la región de Almadén	Metalogenético	Sinclinal de Almadén. Sector meridional de la Zona	Mina de Almadén	Almadén	Ciudad Real	Castilla-La Mancha	Castilla-La Mancha
27	MM-02	Mina Nueva Concepción		Mineralizaciones de mercurio en la región de Almadén	Metalogenético	Sinclinal de Almadén. Sector meridional de la Zona	La Virgen del Castillo	Chillón	Ciudad Real	Castilla-La Mancha	Castilla-La Mancha

Número	"Geosite"	Denominación	Área	Contexto	Interés Principal	Unidad Geológica	Cronoestratigrafía del Rasgo	Paraje	Término Municipal	Provincia	Comunidad Autónoma
28	MM-03	Rodovejo	11 - 1.000 ha	Mineralizaciones de mercurio en la región de Almadén	Metalogenético	Sinclinal de Almadén. Sector meridional de la Zona Centro Ibérica	Carbonífero	Rodovejo	Almadén	Ciudad Real	Castilla-La Mancha
29	MM-04	Mina de El Entredicho	11 - 1.000 ha	Mineralizaciones de mercurio en la región de Almadén	Metalogenético	Sinclinal de Almadén. Sector meridional de la Zona Centro Ibérica	Silúrico Inferior	Mina de El Entredicho	Almadenejos	Ciudad Real	Castilla-La Mancha
30	MM-05	Mina de Guadalperal	0,1 - 10 ha	Mineralizaciones de mercurio en la región de Almadén	Metalogenético	Sinclinal de Almadén. Sector meridional de la Zona Centro Ibérica	Carbonífero	Mina de Guadalperal	Almadén	Ciudad Real	Castilla-La Mancha
31	MM-06	Corte parcial en el flanco N del sindinal de Almadén por la carretera CM-415 (PK 40)	< 0,1 ha	Mineralizaciones de mercurio en la región de Almadén	Estratigráfico	Sinclinal de Almadén. Sector meridional de la Zona Centro Ibérica	Devónico	Sinclinal de Almadén por la cta. CM-415 (Km. 40)	Almadén	Ciudad Real	Castilla-La Mancha
32	MM-07	Corte de la "Cuarcita de Criadero" a lo largo de la carretera CM-415		Mineralizaciones de mercurio en la región de Almadén	Estratigráfico	Sinclinal de Almadén. Sector meridional de la Zona Centro Ibérica	Corte de la "Cuarcita de Criadero"	Mina de Las Cuevas	Almadén	Ciudad Real	Castilla-La Mancha
33	MM-08	Rocas volcánicas y subvolcánicas del Devónico del sindinal de Almadén	< 0,1 ha	Mineralizaciones de mercurio en la región de Almadén	Petrológico	Sinclinal de Almadén. Sector meridional de la Zona Centro Ibérica	Devónico Superior	Rocas volcánicas y subvolcánicas del Devónico del sindinal de Almadén	Almadén	Ciudad Real	Castilla-La Mancha
34	MM-09	Corte de la "Cuarcita de Base" del Devónico	< 0,1 ha	Mineralizaciones de mercurio en la región de Almadén	Estratigráfico	Sinclinal de Almadén. Sector meridional de la Zona Centro Ibérica	Devónico Inferior	Corte de la "Cuarcita de Base" del Devónico	Almadén	Ciudad Real	Castilla-La Mancha
35	MZ-01	Cretácico Inferior de la Sierra de Segura. Sector	11 - 1.000 ha	Series mesozoicas de las Corulleras Béticas e Ibérica	Estratigráfico	Zona Prebética (Zonas Externas de las cordilleras Béticas)	Cretácico Inferior	Sección de Naval Yelmo	Orcera Segura de la Sierra Sección de Arroyo de Los Anchos Santiago de la Espada	Jáén	Andalucía
										Jáén	Andalucía
										Jáén	Andalucía

Número	"Geosite"	Denominación	Área	Contexto	Interés Principal	Unidad Geológica	Cronoestratigrafía del Rasgo	Paraje	Término Municipal	Provincia	Comunidad Autónoma
36	MZ-02	Las plataformas de carbonatos del Cretácico Inferior	Series mesozoicas de las Cordilleras Bética e Ibérica	Estratigráfico	Zona Prebética (Zonas Externas de las Cordilleras Béticas)	Aptiense - Cenomanense Inferior	Montgó	Jávea	Alicante	Comunidad Valenciana	
37	MZ-03	Turbiditas carbonáticas de la Formación Toril. Jurásico inferior	11 - 1.000 ha	Dominio Intermedio de las Zonas Externas de las Cordilleras Béticas	Kimmeridgiense - Berriasiense Inferior	Coll de Rates	jalón	Alicante	Alicante	Comunidad Valenciana	
38	MZ-04	Facies Ammonítico Rosso (Subbética de Córdoba)	> 1.000 ha	Paleontológico	Subbético Externo (Zonas Externas de las Cordilleras Béticas)	Bajocienne- Berriasiense	Segullif	Benidoleig	Alicante	Comunidad Valenciana	
39	MZ-05	Ventanas tectónicas en el frente Subbético	11 - 1.000 ha	Estratigráfico	Dominio Intermedio y Subbético de las Zonas Externas de las Cordilleras Béticas	Jurásico - Cretácico	Cortijo de los Frailes - Lanchares Puerto Escáño Cañada del Hornillo Cortijo de Veleta	Sectión carretera Jaén-Los Villares Sección Sierra de Huélma Sección Cabra del Santo Cristo y de Solera	Jáen Cambil Cabra de Santo Cristo y de Solera	Jáen	Andalucía
40	MZ-06	Vulcanismo submarino y su relación con la sedimentación	> 1.000 ha	Petrológico	Subbético Medio (Zonas Externas de las Cordilleras Béticas)	Jurásico Medio- Cretácico Inferior	Cortijo de Vinagre NE de Montejaén	Cabra de Santo Cristo y de Solera	Montejaén	Granada y Jaén	Andalucía
41	MZ-07	Slumps y facies asociadas del NE de Campillo de Arenas	< 0,1 ha	Estratigráfico	Subbético Medio (Zonas Externas de las Cordilleras Béticas)	Barremiense (Cretácico Inferior)	Kilómetro 70,4 de la autovía de Jaén a Granada	Campillo de Arenas	Jáen	Andalucía	
							Sur de la Estación de Servicio de "La Frontera" (entre los kilómetros 69,3 y 70,2 de la autovía de Jaén a Granada)	Campillo de Arenas	Jáen	Andalucía	

Número	"Geosite"	Denominación	Área	Contexto	Interés Principal	Unidad Geológica	Cronoestratigrafía del Rasgo	Paraje	Término Municipal	Provincia	Comunidad Autónoma
42	MZ-08	Sección de Fuentelsaz	11 - 1.000 ha	Series mesozoicas de las Corilleras Bética e Ibérica	Estratigráfico	Cordillera Ibérica	Toarcienne Superior-Aaleniente Inferior	Barranco en la ladera sur del Cerro Cabeza Quemada	Fuentelsaz	Guadalajara	Castilla-La Mancha
43	MZ-09	Sección del Toarcieno de La Almunia-Rida	11 - 1.000 ha	Series mesozoicas de las Corilleras Bética e Ibérica	Estratigráfico	Cordillera Ibérica (Rama Aragonesa)	Toarcienne (Jurásico Inferior)	Parte inferior en la ladera de un cerro y parte superior a 2.250 m en la trinchera de FCCC (PK278,7)	Rida	Zaragoza	Aragón
44	MZ-10	El Pérmico y el Triásico del Señorio de Molina	> 1.000 ha	Series mesozoicas de las Corilleras Bética e Ibérica	Estratigráfico	Cordillera Ibérica (Rama Castellana)	Pérmico y Triásico	Camino de Rillo de Gallo a Pardos y Barranco de la Hoz del Río Gallo	Rillo de Gallo y Ventosa	Guadalajara	Castilla-La Mancha
45	MZ-11	Sierra de Gúdar	11 - 1.000 ha	Series mesozoicas de las Corilleras Bética e Ibérica	Estratigráfico	Cordillera Ibérica (Maestrazgo)	Cretácico (Valanginiano-Campaniense)	Sierra de Gúdar	Allepuz, Villarroya de los Piñares y Fortanete	Teruel	Aragón
46	MZ-12	Fuente la Puerca	0,1 - 10 ha	Series mesozoicas de las Corilleras Bética e Ibérica	Estratigráfico	Cordillera Ibérica (Sector valenciano)	Albiense Superior-Cenomaniano Inferior	Fuente la Puerca	Chera	Valencia	Comunidad Valenciana
47	MZ-13	Laguna de Somolinos	11 - 1.000 ha	Series mesozoicas de las Corilleras Bética e Ibérica	Estratigráfico	Cordillera Ibérica (Sector Castellano-Manchego)	Cenomaniano Superior-Turoniano Inferior	Ladera de la Cocinilla	Somolinos	Guadalajara	Castilla-La Mancha
48	UR-01	Yacimiento de Zn-Pb de Reocín	11- 1.000 ha	Mineralizaciones de Zn-Pb y Fe del Urgoniano de la Cuenca Vásco-Cantábrica.	Metalogenético	Urgoniano de la Cuenca Vásco-Cantábrica.	Aptiense Medio-Superior	Reocín y Torres	Reocín, Cartes y Torrelavega	Santander	Cantabria
49	UR-02	Yacimiento de Zn-Pb de Novales y Mina Emilia	11- 1.000 ha	Mineralizaciones de Zn-Pb y Fe del Urgoniano de la Cuenca Vásco-Cantábrica.	Metalogenético	Urgoniano de la Cuenca Vásco-Cantábrica.	Aptiense Medio-Superior	Mina San José, Rulaverde, Grupo Aumento a Povenir, Hoyo Alto, Novales Mina Andrea, Hoyo Alto Mina de Codornos, La Barbecha; Novales	Alfoz de Lloredo	Santander	Cantabria
				Zona plegada de Comillas-Ubiás					Alfoz de Lloredo	Santander	Cantabria
									Alfoz de Lloredo	Santander	Cantabria
									Alfoz de Lloredo	Santander	Cantabria
									Alfoz de Lloredo	Santander	Cantabria
									Alfoz de Lloredo	Santander	Cantabria

Número	"Geosite"	Denominación	Área	Contexto	Interés Principal	Unidad Geológica	Cronoestratigrafía del Rasgo	Paraje	Término Municipal	Provincia	Comunidad Autónoma
50	UR-03	Yacimiento de Zn-Pb de Urdás	11-1.000 ha	Mineralizaciones de Zn-Pb y Fe del Urgoniano de la Cuenca Vasco-Cantábrica	Metalogenético	Urgoniano de la Cuenca Vasco-Cantábrica. Zona plegada de Comillas-Urdás	Aptiense Medio-Superior	Minas Hermosa y Enriqueta, Sel del Haya, Cobijón Minas Peñita y San Bartolomé, Canales	Urdás	Santander	Cantabria
51	UR-04	Yacimiento de Zn-Pb de La Florida y Cueva del Sopiao	11-1.000 ha	Mineralizaciones de Zn-Pb y Fe del Urgoniano de la Cuenca Vasco-Cantábrica	Metalogenético	Cuenca Vasco-Cantábrica	Aptiense Medio-Superior	La Florida, Plaza del Monte, Braña Escondida, Las Ijorriás, Lacuerre	Valdáliga	Santander	Cantabria
52	UR-05	Mineralizaciones de hierro de Peña Cabarga	>1.000 ha	Mineralizaciones de Zn-Pb y Fe del Urgoniano de la Cuenca Vasco-Cantábrica	Metalogenético	Cuenca Vasco-Cantábrica	Aptiense Superior	Cabárceno, Peña de Santa María, Penagos, Liérganes San Jorge, El Acebo, Pinaquera, y Medio Cudeyo Norte de Solares, etc.	Ratera	Santander	Cantabria
53	UR-06	Mineralizaciones de hierro de Gallarta	11-1.000 ha	Mineralizaciones de Zn-Pb y Fe del Urgoniano de la Cuenca Vasco-Cantábrica	Metalogenético	Cuenca Vasco-Cantábrica	Aptiense Superior	Abanto de Suso, La Concha, Abanto y Ciérnava	Vizcaya	País Vasco	
54	UR-07	Mina de Zn-Pb de Siete Puertas	11-1.000 ha	Mineralizaciones de Zn-Pb y Fe del Urgoniano de la Cuenca Vasco-Cantábrica	Metalogenético	Cuenca Vasco-Cantábrica	Aptiense	La Cruz	Trucios	Vizcaya	País Vasco
55	UR-08	Mina de Zn-Pb de La Troya	11-1.000 ha	Mineralizaciones de Zn-Pb y Fe del Urgoniano de la Cuenca Vasco-Cantábrica	Metalogenético	Cuenca Vasco-Cantábrica	Aptiense	Pegatzagaña	Mutiloa	Vizcaya	País Vasco
56	FC-01	Icnitas de dinosaurio de Igua	>1.000 ha	Fósiles e icnofósiles del Cretácico Inferior de la Península Ibérica	Paleontológico	Cuenca de Cameros (Cordillera Ibérica)	Aptiense	Las Navillas Bco Valdebrajes Cno Igua-Valdebrajes El Peladillo Los Cayos	Cervera del Río Alhama Cervera del Río Alhama Igea Igea Cornago	La Rioja La Rioja La Rioja La Rioja La Rioja	

Número	"Geosite"	Denominación	Área	Contexto	Interés Principal	Unidad Geológica	Cronoestratigrafía del Rasgo	Paraje	Término Municipal	Provincia	Comunidad Autónoma
57	FC-02	Icnitas de dinosaurio de Enciso	> 1.000 ha	Fósiles e icnósitos del Cretácico Inferior de la Península Ibérica	Paleontológico	Cuenca de Cameros (Cordillera Ibérica)	Aptiense	Valdeté La Magdalena Barrando de la Sierra del Palo Enciso Las Losas	Muro de Aguas/Préjano Préjano Enciso	Logroño La Rioja La Rioja La Rioja La Rioja	La Rioja
58	FC-03	Icnitas de dinosaurio de Munilla	11 - 1.000 ha	Fósiles e icnósitos del Cretácico Inferior de la Península Ibérica	Paleontológico	Cuenca de Cameros (Cordillera Ibérica)	Aptiense	Peñaportillo San Vicente Malvacíero Las Mortajeras	Munilla Munilla Munilla Munilla	Logroño Logroño Logroño Logroño	La Rioja La Rioja La Rioja La Rioja
59	FC-04	Icnitas de dinosaurio de Soto en Cameros	11 - 1.000 ha	Fósiles e icnósitos del Cretácico Inferior de la Península Ibérica	Paleontológico	Cuenca de Cameros (Cordillera Ibérica)	Berriasiense - Aptiense	Trevijano Soto2 Soto 1 Soto 3 La Ilaga Camino a Treguajantes	Soto en Cameros Soto en Cameros Soto en Cameros Soto en Cameros Terroba Terroba	Logroño Logroño Logroño Logroño Logroño Logroño	La Rioja La Rioja La Rioja La Rioja La Rioja La Rioja
60	FC-05	Icnitas de dinosaurio de Hornillos de Cameros	> 1.000 ha	Fósiles e icnósitos del Cretácico Inferior de la Península Ibérica	Paleontológico	Cuenca de Cameros (Cordillera Ibérica)	Aptiense	El Contadero Hornillos La Cela Valdemayor	Ajamil Hornillos de Cameros Muro en Cameros Cabezón de Cameros	Logroño Logroño Logroño Logroño	La Rioja La Rioja La Rioja La Rioja
61	FC-06	Icnitas de dinosaurio de Galve	11 - 1.000 ha	Fósiles e icnósitos del Cretácico Inferior de la Península Ibérica	Paleontológico	Cubeta de Aliaga (Cordillera Ibérica)	Trítónico-Hauteriviano	Ríos Bajos El Cantábar Las Cerradicas Barranco Luca Corrales del Pelejón	Galve Galve Galve Galve Galve	Teruel Teruel Teruel Teruel Teruel	Aragón Aragón Aragón Aragón Aragón
62	FC-07	Yacimiento de Las Hoyas	11 - 1.000 ha	Fósiles e icnósitos del Cretácico Inferior de la Península Ibérica	Paleontológico	Cuenca Ibérica Suroccidental (Cordillera Ibérica)	Barremiense Superior	Las Hoyas	La Cierva	Cuenca	Castilla-La Mancha
63	FC-08	Ámbar de El Caleyu	0,1 - 10 ha	Fósiles e icnósitos del Cretácico Inferior de la Península Ibérica	Paleontológico	Depresión Central Asturiana	Albiense Superior	El Caleyu	Oviedo	Asturias	Principado de Asturias
64	FC-09	Ámbar de Peñacerrada I (también llamado Moraza)	< 0,1 ha	Fósiles e icnósitos del Cretácico Inferior de la Península Ibérica	Paleontológico	Cuenca de Miranda-Treviño	Aptiense Superior-Albiense Medio	Peñacerrada I	Moraza	Burgos	Castilla y León

Número	"Geosít" "	Denominación	Área	Contexto	Interés Principal	Unidad Geológica	Cronoestratigrafía del Rasgo	Paraje	Término Municipal	Provincia	Comunidad Autónoma
65	FC-10	Ámbar de Peñacerrada II	< 0,1 ha	Fósiles e icnófósiles del Cretácico Inferior de la Península Ibérica	Paleontológico	Cuenca de Miranda-Treviño	Aptiense Superior-Albiense Medio	Peñacerrada II	Peñacerrada	Álava	País Vasco
66	FC-11	Ámbar del Arroyo de la Pascueta	0,1 - 10 ha	Fósiles e icnófósiles del Cretácico Inferior de la Península Ibérica	Paleontológico	Subcuenca de las Parras (Cordillera Ibérica)	Albiense Inferior-Medio	Arroyo de la Pascueta	Rubielos de Mora	Teruel	Aragón
67	FC-12	Ámbar de San Just	0,1 - 10 ha	Fósiles e icnófósiles del Cretácico Inferior de la Península Ibérica	Paleontológico	Subcuenca de Las Parras (Cordillera Ibérica)	Albiense Inferior-Medio	San Just	Escucha	Teruel	Aragón
68	KT-01	Límite Cretáceo/Terciario de Caravaca	0,1 - 10 ha	Secciones estratigráficas del límite Cretáceo/Terciario	Estratigráfico	Formación Jorquera, Subbético Norte, C. Béticas	Límite Cretáceo/Terciario, 65 Ma	Barranco del Gredero	Caravaca de la Cruz	Murcia	Murcia
69	KT-02	Límite Cretáceo/Terciario de Zumaya	0,1 - 10 ha	Secciones estratigráficas del límite Cretáceo/Terciario	Estratigráfico	Sedimentación marina profunda de cuenca Vasco-Cantábrica	Límite Cretáceo-Terciario, 65 Ma.	Zumaya	Guipúzcoa	País Vasco	
70	KT-03	Nivel de arcilla del límite K/T	0,1 - 10 ha	Secciones estratigráficas del límite Cretáceo/Terciario	Estratigráfico	Sedimentación marina profunda de las C. Béticas	Límite Cretáceo-Terciario, 65 Ma.	Lomas de la Beata	Agost	Alicante	Comunidad Valenciana
71	CS-01	Anticlinal de Abella	> 1.000 ha	Cuenca Sinorogénicas Surprenaicas	Estratigráfico	Prepirineo. Lámina cabalgante de Boixols-Sant Corneli	Cretáceo Superior		Abella, Isona	Lérida	Cataluña
72	CS-02	Sedimentos intramareales	11 - 1.000 ha	Cuenca Sinorogénicas Surprenaicas	Estratigráfico	Prepirineo, Vall d' Ager	Eoceno Inferior	La Baronia, Sant Hoísmo	Camarasa	Lérida	Cataluña
73	CS-03	Dicordancias sintectónicas progresivas del Alto Cardener	11 - 1.000 ha	Cuenca Sinorogénicas Surprenaicas	Tectónico	Eoceno Superior-Oligoceno Inferior	Tossal de la Creu del Codo, Tossal de Vall-Llonga	Guixers y Sant Llorenç dels Morunys	Lérida	Cataluña	

Número	"Geosite"	Denominación	Área	Contexto	Interés Principal	Unidad Geológica	Cronoestratigrafía del Rasgo	Paraje	Término Municipal	Provincia	Comunidad Autónoma
74	UO-01	Depósitos gravitacionales de Baena	0,1 - 10 ha	Unidades olistotrómicas del antepaís bético (España meridional)	Estratigráfico	Unidad Olistostómica	Langhiense Superior-Serravallense	Carretera N432, Badajoz-Granada	Baena	Córdoba	Andalucía
75	UO-02	Depósitos gravitacionales de la Fuensanta de Martos	0,1 - 10 ha	Unidades olistotrómicas del antepaís bético (España meridional)	Estratigráfico	Unidad Olistostómica	Langhiense Superior-Serravallense	El Regüelo	Fuensanta de Martos	Jaén	Andalucía
76	UO-03	Depósitos gravitacionales de Alcaudete	0,1 - 10 ha	Unidades olistotrómicas del antepaís bético (España meridional)	Estratigráfico	Unidad Olistostómica	Langhiense Superior-Serravallense	Carretera N432, Badajoz-Granada, PK-366	Acaudete	Jaén	Andalucía
77	UO-04	Depósitos gravitacionales de Castillo de Locubín	0,1 - 10 ha	Unidades olistotrómicas del antepaís bético (España meridional)	Estratigráfico	Unidad Olistostómica	Langhiense Superior-Serravallense	Carretera N432, Badajoz-Granada, PK-373	Castillo de Locubín	Jaén	Andalucía
78	EM-01	Falla de Padul-Níguelas	0,1 - 10 ha	La extensión miocena en el Dominio de Alborán	Tectónico	Borde oriental de la Depresión de Granada	Neogeno-Cuaternario	Motrijo El Manar Níguelas Ceneta de Marchena	Padul Durcal Níguelas Padul	Granada	Andalucía
79	EM-02	Despegue extensional de Medina	0,1 - 10 ha	La extensión miocena en el Dominio de Alborán	Tectónico	Contacto Alpujárride-Nevado-Filábride	Mioceno Inferior-Medio	La Junta	Pampaneira-Carataunas-Orija-La Taha	Granada	Andalucía
80	VU-01	Edificio volcánico de la Sierra de las Cabras (Cancarix)	11 - 1.000 ha	Asociaciones volcánicas ultrapotásicas (lamproíticas) neógenas del SE de la Península Ibérica	Petroológico	Domo colado de Cancarix y depósitos piroclásticos	Post-Tortoniense	Sierra de las Cabras	Hellín	Albacete	Castilla - La Mancha

Número	"Geosite"	Denominación	Área	Contexto	Interés Principal	Unidad Geológica	Cronoestratigrafía del Rasgo	Paraje	Término Municipal	Provincia	Comunidad Autónoma
228	81 VU-02	Afloramientos volcánicos ultrapotásicos (lampirotícos)	11 - 1.000 ha	Asociaciones volcánicas ultrapotásicas (lampirotícas) neógenas del SE de la Península Ibérica	Petrológico	Domo y coladas lampirotícas de la Celia	Messiniense por sus relaciones con los sedimentos	La Mina - Caserío de La Celia	Jumilla	Murcia	Región de Murcia
	82 VU-03	Edificio volcánico de los Cabecitos Negros de Fortuna	11 - 1.000 ha	Asociaciones volcánicas ultrapotásicas (lampirotícas) neógenas del SE de la Península Ibérica	Petrológico	Pitón y dique de Fortuna	Post Andaluciense Inferior.	Rambla del Ajáque - Cabecitos Negros	Fortuna	Murcia	Región de Murcia
	83 VU-04	Centro de emisión volcánico del Cabezo María	0,1 - 10 ha	Asociaciones volcánicas ultrapotásicas (lampirotícas) neógenas del SE de la Península Ibérica	Petrológico	Centro de emisión volcánico submarino del Cabezo María	Messiniense terminal Cerro del Cabezo María o Plioceno Inferior	Vera	Almería	Andalucía	
	84 VU-05	Coladas al SO de Vera	11 - 1.000 ha	Asociaciones volcánicas ultrapotásicas (lampirotícas) neógenas del SE de la Península Ibérica	Petrológico	Coladas de veritas procedentes del centro de emisión	Post-Tortoniense a Plioceno por sus relaciones con los sedimentos	La Salaoosa y Cañada de las Moreras	Vera	Almería	Andalucía
	85 VU-06	Edificio volcánico del cerro de Salmerón	11 - 1.000 ha	Asociaciones volcánicas ultrapotásicas (lampirotícas) neógenas del SE de la Península Ibérica	Petrológico	Pitón, coladas, diques y depósitos pirotácticos	5.67 +/- 0.3 Ma (Turoliense), según la datación real	Cerro de Salmerón	Moratalla	Murcia	Región de Murcia
	86 VU-07	Edificio volcánico del Cabezo Negro de Zeneta	11 - 1.000 ha	Asociaciones volcánicas ultrapotásicas (lampirotícas) neógenas del SE de la Península Ibérica	Petrológico	Pitón - Domo del Cabezo Negro de Zeneta	Post-Tortoniense Medio por sus relaciones con los sedimentos	Cabezo Negro	Murcia	Murcia	Región de Murcia
	87 VU-08	Edificio volcánico de Barqueros	11 - 1.000 ha	Asociaciones volcánicas ultrapotásicas (lampirotícas) neógenas del SE de la Península Ibérica	Petrológico	Procastos, coladas, diques y tobas hidromagnáticas	Post Messiniense	Entre Cañada de Braciquios y Cañada de la Zarza, al N del pueblo de Barqueros	Murcia y límite E de Mula	Murcia	Región de Murcia

Número	"Geosite"	Denominación	Área	Contexto	Interés Principal	Unidad Geológica	Cronoestratigrafía del Rasgo	Paraje	Término Municipal	Provincia	Comunidad Autónoma
88	VU-09	Edificio volcánico de Calasparra	0,1 - 10 ha	Asociaciones volcánicas ultrarósticas (lapíticas) neogenas del SE de la Península Ibérica	Petrológico	Volcán de Calasparra	Post-Tortoniense por sus relaciones (Cerro Negro) situado a 1,5 Km al con los sedimentos NO de la población de Calasparra	Calasparra		Murcia	Región de Murcia
89	VC-01	Los Roques de García	11 - 1.000 ha	Edificios y morfolologías volcánicas de las Islas Canarias	Geomorfológico	Depósitos de la avalancha que destruyó edificio Cañadas	Pleistoceno (1,5-0,43 Ma)	Parque Nacional del Teide	La Orotava	Tenerife	Islas Canarias
90	VC-02	Los edificios Cañadas en la pared Las Cañadas	> 1.000 ha	Edificios y morfolologías volcánicas de las Islas Canarias	Geomorfológico	Caldera de Las Cañadas	I: 3,5-2,7 Ma; II: 2,4-1,3 Ma; III: 1,2-0,15	Parque Nacional del Teide (vértice sur) Parque Nacional del Teide (vértice norte)	La Orotava	Tenerife	Islas Canarias
91	VC-03	Volcán Teide	> 1.000 ha	Edificios y morfolologías volcánicas de las Islas Canarias	Geomorfológico	Eruptiones volcánicas del Edificio Teide	> 150.000 años a 800 años	Parque Nacional del Teide	La Orotava	Tenerife	Islas Canarias
92	VC-04	Roque Nublo	11 - 1.000 ha	Edificios y morfolologías volcánicas de las Islas Canarias	Geomorfológico	Depósito de Debris-avalancha Roque Nublo (Brecha)	3,5 Ma (Plioceno Superior)	Parque Rural del Nublo	Tejeda	Las Palmas	Islas Canarias
93	VC-05	Caldera de Tejeda con el Cone-Sheet	> 1.000 ha	Edificios y morfolologías volcánicas de las Islas Canarias	Tectónico	Grupos Mogán y Fataga, intracaldera. Intrusiones	Grupo Mogán y Fataga, intracaldera. 13,2 Ma; Grupo Intrusiones Fattaga 13,2-8,5 Ma	Caldera de Tejeda (embalse del Siberio) Caldera de Tejeda (centro geométrico del cone-sheet)	Tejeda, Artenara, Mogán y San Nicolás de Tolentino	Las Palmas	Islas Canarias
94	EE-01	Los Yesos del Río Aguas (Sorbas)	0,1 - 10 ha	Episodios evaporíticos mesinienses (crisis de salinidad mediterránea)	Estratigráfico	Depresión Neógena de Sorbas (Miembro Yesares)	Messiniense	Los Molinos Puente del Río Aguas Barranco del Infierno		Sorbas	Almería
95	EE-02	Los arrecifes de Sorbas	11 - 1.000 ha	Episodios evaporíticos mesinienses (crisis de salinidad mediterránea)	Estratigráfico	Depresión Neógena de Sorbas (Miembro Canter)	Messiniense	Los Alías (Carlaitz) Cortijada de Huéli		Sorbas	Almería
96	EE-03	Las Facies Playa del Miembro Sorbas	0,1 - 10 ha	Episodios evaporíticos mesinienses (crisis de salinidad mediterránea)	Estratigráfico	Depresión Neógena de Sorbas (Miembro Sorbas)	Messiniense	Meandro del Río Aguas		Sorbas	Almería

Número	"Geosítos"	Denominación	Área	Contexto	Interés Principal	Unidad Geológica	Cronoestratigrafía del Rasgo	Paraje	Término Municipal	Provincia	Comunidad Autónoma
230	97 TC-01	Estratotipo del Aragoniense, Villafeliche	11 - 1.000 ha	Cuencas terciarias continentales y yacimientos de vertebrados asociados de Aragón y Cataluña	Paleontológico	Dominio Ibérico, Cuenca Calatayud-Daroca-Montalbán	Aragoniente	Rambla de Vargas	Villafeliche	Zaragoza	Aragón
98	TC-02	Yacimiento de mamíferos paleocenos de Fontllonga y Claret	11 - 1.000 ha	Cuencas terciarias continentales y yacimientos de vertebrados asociados de Aragón y Cataluña	Paleontológico	Formación Trémp, Cuencas Subpirenaicas	Paleoceno	Fontllongat Claret	Camarasa (Fontllonga) Trémp (Claret)	Lérida Lérida	Cataluña Cataluña
99	TC-03	Estratotipo del Turolense		Cuencas terciarias continentales y yacimientos de vertebrados asociados de Aragón y Cataluña	Paleontológico	Cadenas Ibéricas, Fosa de Teruel	Turolense	Afueras de la ciudad	Teruel	Teruel	Aragón
100	TC-04	Estratotipo del Vallesiense, Cuenca del Vallés-Penedés		Cuencas terciarias continentales y yacimientos de vertebrados asociados de Aragón y Cataluña	Paleontológico	Cordilleras Catalánides, Cuenca del Vallès Penedés	Vallesiense	Can Llobateres	Sabadell	Barcelona	Cataluña
101	TC-05	Estratotipo del Rambliense		Cuencas terciarias continentales y yacimientos de vertebrados asociados de Aragón y Cataluña	Paleontológico	Dominio Ibérico, Cuenca de Calatayud-Daroca-Montal	Rambliense	Arroyo del Ramblar	Navarrete del Río	Teruel	Aragón
102	VP-01	Cueva de El Sidrón	0,1 - 10 ha	Yacimientos de vertebrados del Plioceno-Pleistoceno español	Paleontológico	C.C., Cuenca Vasco-Cantábrica, Macizo Asturiano, Dep. Longitudinal	Pleistoceno Superior	La Tumba, Cueva de El Sidrón, Valloval, Borines	Piloña	Asturias	Principado de Asturias
103	VP-02	Cueva de El Castillo	0,1 - 10 ha	Yacimientos de vertebrados del Plioceno-Pleistoceno español	Paleontológico	C.C., Cuenca Vasco-Cantábrica, Surco Navarro-Cántabro	Pleistoceno Superior	Cueva de El Castillo, Monte Castillo	Puente Viesgo	Cantabria	Cantabria
104	VP-03	Villacastín	< 0,1 ha	Yacimientos de vertebrados del Plioceno-Pleistoceno español	Paleontológico	Sistema Central, Sector Centro-Norte	Pleistoceno Superior	Ituero y Llama, N-110, a 3,5 km de Villacastín y a 0,5 km de Ituero y Llama	Villacastín	Segovia	Castilla y León

Número	"Geosite"	Denominación	Área	Contexto	Interés Principal	Unidad Geológica	Cronoestratigrafía del Rasgo	Paraje	Término Municipal	Provincia	Comunidad Autónoma
105	VP-04	Pinilla del Valle	11 - 1.000 ha	Yacimientos de vertebrados del Plioceno-Pleistoceno español	Paleontológico	Sistema Central, Fosa del Lozoya	Pleistoceno Medio	Calvero de la Higuera, Valle del Lozoya Calvero de la Higuera	Pinilla del Valle	Madrid	Madrid
106	VP-05	Abrigo de Jarama VI	< 0,1 ha	Yacimientos de vertebrados del Plioceno-Pleistoceno español	Paleontológico	Sistema Central, Sector SE	Pleistoceno Superior	Alto Valle del Jarama	Valdesotos	Guadalajara	Castilla - La Mancha
107	VP-06	Atapuerca	11 - 1.000 ha	Yacimientos de vertebrados del Plioceno-Pleistoceno español	Paleontológico	Cordillera Ibérica, Rama Castellana	Pleistoceno Inferior y Medio	Gran Dolina Galería Sima del Elefante Sima de los Huesos (se accede por Cueva Mayor)	Atapuerca Atapuerca Ibeas de Juarros Ibeas de Juarros	Burgos	Castilla y León
108	VP-07	Torralba y Ambroma	11 - 1.000 ha	Yacimientos de vertebrados del Plioceno-Pleistoceno español	Paleontológico	Cordillera Ibérica, Rama Castellana	Pleistoceno Medio	Loma del Saúco, Torralba Loma de los Huesos, Ambroma	Medinaceli Málaga de Medina	Soria	Castilla y León
109	VP-08	Cova Negra	< 0,1 ha	Yacimientos de vertebrados del Plioceno-Pleistoceno español	Paleontológico	Cordillera Bética, Dominio Prebético Oriental	Pleistoceno Superior	Cova Negra, El Paller	Xàtiva	València	Comunidad Valenciana
110	VP-09	Cueva del Boquete de Zafarraya	< 0,1 ha	Yacimientos de vertebrados del Plioceno-Pleistoceno español	Paleontológico	C.Bética, Dominio Subbético, Unidad de Zafarraya	Pleistoceno Superior	Cueva del Boquete de Zafarraya, Alcaucín Boquete de Zafarraya		Málaga	Andalucía
111	VP-10	Cueva de Nerja	0,1 - 10 ha	Yacimientos de vertebrados del Plioceno-Pleistoceno español	Paleontológico	C.Bética, Comp. Alpujárride, Manto de La Herradura	Pleistoceno Superior	Cueva de Nerja, Maro	Nerja	Málaga	Andalucía
112	VP-11	Cueva Victoria	< 0,1 ha	Yacimientos de vertebrados del Plioceno-Pleistoceno español	Tectónico	C.Bética, Complejo Alpujárride	Pleistoceno Inferior	Cueva Victoria, La Unión	Cartagena	Murcia	Murcia
113	VP-12	Áridos	0,1 - 10 ha	Yacimientos de vertebrados del Plioceno-Pleistoceno español	Paleontológico	C. del Tajo, Cuenca de Madrid, Terrazas del Jarama	Pleistoceno Medio	Áridos	Arganda	Madrid	Madrid

Número	"Geosítos"	Denominación	Área	Contexto	Interés Principal	Unidad Geológica	Cronoestratigrafía del Rasgo	Paraje	Término Municipal	Provincia	Comunidad Autónoma
114	VP-13	Las Higuueruelas	0,1 - 10 ha	Yacimientos de vertebrados del Plioceno-Pleistoceno español	Paleontológico	Cuenca del Tajo, Campo de Calatrava	Pleistoceno Superior	Las Higuueruelas	Alcolea de Calatrava	Ciudad Real	Castilla - La Mancha
115	VP-14	Fonelas P-1	0,1 - 10 ha	Yacimientos de vertebrados del Plioceno-Pleistoceno español	Paleontológico	Cuenca de Guadix-Baza, Sector Occidental	Plioceno- Pleistoceno	Barranco Pocico	Fonelas	Granada	Andalucía
116	VP-15	Venta Micena	0,1 - 10 ha	Yacimientos de vertebrados del Plioceno-Pleistoceno español	Paleontológico	Cuenca de Guadix-Baza, Sector Oriental	Pleistoceno Inferior	Venta Micena	Orce	Granada	Andalucía
117	VP-16	Barranco León-5	0,1 - 10 ha	Yacimientos de vertebrados del Plioceno-Pleistoceno español	Paleontológico	Cuenca de Guadix-Baza, Sector Oriental	Pleistoceno Inferior	Barranco León, ladera oeste	Orce	Granada	Andalucía
118	VP-17	Fuente Nueva-3	0,1 - 10 ha	Yacimientos de vertebrados del Plioceno-Pleistoceno español	Paleontológico	Cuenca de Guadix-Baza, Sector Oriental	Pleistoceno Inferior	Fuente Nueva	Orce	Granada	Andalucía
119	VP-18	Huéscar-1	0,1 - 10 ha	Yacimientos de vertebrados del Plioceno-Pleistoceno español	Paleontológico	Cuenca de Guadix-Baza, Sector Oriental	Pleistoceno Inferior	Barranco de las Cañadas, Barranco de las Quebradas, Cortijo de la Calahorra	Huéscar	Granada	Andalucía
120	VP-19	Cúllar de Baza-1	0,1 - 10 ha	Yacimientos de vertebrados del Plioceno-Pleistoceno español	Paleontológico	Cuenca de Guadix-Baza, Sector Oriental	Pleistoceno Medio	Cuesta de Baza, al S del km 157 de la A-92N	Cúllar	Granada	Andalucía
121	VP-20	La Solana del Zamborino	0,1 - 10 ha	Yacimientos de vertebrados del Plioceno-Pleistoceno español	Paleontológico	Cuenca de Guadix-Baza, Sector Occidental	Pleistoceno Medio	Solana del Zamborino, Llano del Zamborino, Cortijo de la Torre de Guájjar	Fonelas	Granada	Andalucía
122	VP-21	Cueva de Amutxate	0,1 - 10 ha	Los sistemas kársticos en carbonatos y evaporitas de la Península Ibérica y Baleares	Paleontológico	Sierra de Aralar. Urigoniano de la Cuenca Vasco-Cantábrica	Pleistoceno superior	Cueva de Amutxate, Amutxate	Sierra de Aralar	Navarra	Navarra

Número	"Geosite"	Denominación	Área	Contexto	Interés Principal	Unidad Geológica	Cronoestratigrafía del Rasgo	Paraje	Término Municipal	Provincia	Comunidad Autónoma
123	RF-01	Rañas de Anchuras	> 1.000 ha	Red Fluvial, rañas y relieves apalachiados del Macizo Ibérico	Geomorfológico	Cenozoico	Rincón de Anchuras	Anchuras, Los Alares y Horcajo de los Montes	Ciudad Real, Toledo y Badajoz	Castilla-La Mancha y Extremadura	
124	RF-02	Arribes del Duero	> 1.000 ha	Red Fluvial, rañas y relieves apalachiados del Macizo Ibérico	Geomorfológico	Cenozoico	Arribes del Duero	Varios en España y Portugal	Zamora	Castilla y León	
125	RF-03	Valle de Navas de Estena	> 1.000 ha	Red Fluvial, rañas y relieves apalachiados del Macizo Ibérico	Geomorfológico	Cenozoico	Dehesa del Carrizal	Navas de Estena-Retuerta del Bullaque	Ciudad Real	Castilla-La Mancha	
126	RF-04	Fervenza de Ezaro	> 1.000 ha	Red Fluvial, rañas y relieves apalachiados del Macizo Ibérico	Geomorfológico	Cenozoico (Cuaternario?)	Ezaro	A Coruña	Galicia		
127	CB-01	Delta del Ebro	> 1.000 ha	Costas bajas de la Península Ibérica	Geomorfológico	Cordilleras Costeras Catalanas	Holoceno - Actual	Amposta, L' Ampolla, Deltebre, Sant Carles de la Ràpita, Sant Jaume d'Enveja	Tarragona	Cataluña	
128	CB-02	Flecha y marismas de Doñana	> 1.000 ha	Costas bajas de la Península Ibérica	Geomorfológico	Depresión terciaria del Guadalquivir	Cuaternario	Almonte, Hinojos, Aznalcázar y Puebla del Río	Huelva, Sevilla	Andalucía	
129	CB-03	Albufera de Valencia	> 1.000 ha	Costas bajas de la Península Ibérica	Geomorfológico	Área de conexión Cordillera Ibérica - Béticas	Cuaternario, Holoceno	Valencia, El Saler, El Palmar	Valencia	Comunidad Valenciana	
130	CB-04	Delta y albuferas de Adra	11 - 1.000 ha	Costas bajas de la Península Ibérica	Geomorfológico	Cordilleras Béticas	Cuaternario, Holoceno	Adra	Almería	Andalucía	
131	CB-05	Campo de Dalías - Punta Entinas	> 1.000 ha	Costas bajas de la Península Ibérica	Geomorfológico	Cordilleras Béticas	Cuaternario	El Ejido, Roquetas de Mar, Aguacluce	Almería	Andalucía	
132	CB-06	Bahía de Cádiz	> 1.000 ha	Costas bajas de la Península Ibérica	Geomorfológico	Depresión terciaria del Guadalquivir	Plioceno superior - Cuaternario	Cádiz, El Puerto de Santa María, Puerto Real, Chiclana de la Frontera, San Fernando	Cádiz	Andalucía	
133	SK-01	Cueva de Nerja	11 - 1.000 ha	Los sistemas kársticos en carbonatos y evaporitas de la Península Ibérica y Baleares	Geomorfológico	Complejo Alpujárride, Zonas Internas de las Cordilleras Béticas	Plioceno-Cuaternario Maro en carbonatos del Triásico Medio-Superior	Nerja	Málaga	Andalucía	

Número	"Geosite"	Denominación	Área	Contexto	Interés Principal	Unidad Geológica	Cronoestratigrafía del Rasgo	Paraje	Término Municipal	Provincia	Comunidad Autónoma
134	SK-02	El Torcal de Antequera	> 1.000 ha	Los sistemas kársticos en carbonatos y evaporitas de la Península Ibérica y Baleares	Geomorfológico	Subbético Interno o Penibético (Zonas Externas de las Cordilleras béticas)	Plioceno-Cuaternario en carbonatos del Jurásico Superior	Torcal de Antequera	Antequera y Villanueva de la Concepción	Málaga	Andalucía
135	SK-03	Karst en yesos de Sorbas	> 1.000 ha	Los sistemas kársticos en carbonatos y evaporitas de la Península Ibérica y Baleares	Geomorfológico	Unidad Miembro Yesales. Zonas internas de las Cordilleras béticas	Plioceno-Cuaternario en yesos del Mioceno	Yesos de Sorbas	Sorbas	Almería	Andalucía
136	SK-04	Picos de Europa	> 1.000 ha	Los sistemas kársticos en carbonatos y evaporitas de la Península Ibérica y Baleares	Geomorfológico	Caliza de Montaña y de Picos de Europa Zona Cantábrica	Mioceno-Cuaternario en carbonatos del Carbonífero	Picos de Europa	Asturias, León y Cantabria	Asturias, León y Cantabria	Principado de Asturias, Castilla y León y Cantabria
137	SK-05	La Ciudad Encantada de Cuenca	> 1.000 ha	Los sistemas kársticos en carbonatos y evaporitas de la Península Ibérica y Baleares	Geomorfológico	Dolomías de la Ciudad Encantada. Cordillera Ibérica	Mioceno-Cuaternario en carbonatos del Cretácico superior	Serranía de Cuenca	Cuenca	Cuenca	Castilla-La Mancha
138	SK-06	Lagunas de Ruidera	> 1.000 ha	Los sistemas kársticos en carbonatos y evaporitas de la Península Ibérica y Baleares	Geomorfológico	Cobertera tabular de la Meseta	Mioceno-Cuaternario en carbonatos del Jurásico	Lagunas de Ruidera	Peñarroya y Ruidera	Albacete y Ciudad Real	Castilla-La Mancha
139	SK-07	Ojo Guareña	11 - 1.000 ha	Los sistemas kársticos en carbonatos y evaporitas de la Península Ibérica y Baleares	Geomorfológico	Cuenca Vasco- Cantábrica	Plioceno-Cuaternario en carbonatos del Coniacense Medio-Superior	Cueva de Ojo Guareña	Merindades	Burgos	Castilla y León

Número	"Geosite"	Denominación	Área	Contexto	Interés Principal	Unidad Geológica	Cronoestratigrafía del Rasgo	Paraje	Término Municipal	Provincia	Comunidad Autónoma
140	SK-08	Valporquero	< 0,1 ha	Los sistemas kársticos en carbonatos y evaporitas de la Península Ibérica y Baleares	Geomorfológico	Formaciones Valdetejía y Barcaliente, Zona Cantábrica	Cuaternario en calizas del Carbonífero	Cueva de Valporquero	Valporquero	León	Castilla y León
141	SK-09	La Serra de Tramuntana	> 1.000 ha	Los sistemas kársticos en carbonatos y evaporitas de la Península Ibérica y Baleares	Geomorfológico	Keuper	Pliocuaternario en calizas del Jurásico	Lapiña de la Sierra de Tramuntana	Esorca	Mallorca	Baleares
142	SK-10	Sistemas kársticos del Levante de Mallorca	> 1.000 ha	Los sistemas kársticos en carbonatos y evaporitas de la Península Ibérica y Baleares	Geomorfológico	Unidad Arecifal/Calizas de Santanyí	Mioceno/Plioceno	La Marina de Migjorn	Santanyí, Felanitx y Manacor	Mallorca	Baleares
143	SK-11	Cueva de Castañar	< 0,1 ha	Los sistemas kársticos en carbonatos y evaporitas de la Península Ibérica y Baleares	Geomorfológico	Zona Centro Ibérica. Macizo Ibérico	Desconocida en calizas precámbricas	Cueva de Castañar	Castañar de Ibor	Cáceres	Extremadura
144	SK-12	Gruta de las Maravillas	0,1 a 10 ha	Los sistemas kársticos en carbonatos y evaporitas de la Península Ibérica y Baleares	Geomorfológico	Zona Sudportuguesa	Mioceno-Plioceno en mármoles del Precámbrico Superior	Aracena	Huelva	Andalucía	